

| TS (c.c.) | Cap. (µF) | Tol. cap. (%) | Courant de fuite c.c. µA à 25 °C max. | FD % à 25 °C 120 Hz max. | RSE Ω à 25 °C 100 kHz max. | Size Code† | N° de référence Digi-Key | Prix unitaire de bande coupée | | | N° de référence Digi-Key | Bande et bobine | | N° de référence Kemet |
|-----------|-----------|---------------|---------------------------------------|--------------------------|----------------------------|---------------|--------------------------|-------------------------------|------|---------------|--------------------------|-----------------|--------------------|-----------------------|
| | | | | | | | | 1 | 10 | 100 | | Qté | Prix | |
| 2.5 | 680 ±20 | 170 | 8 | 0.006 | X | 399-4987-1-ND | 9.95 | 8.66 | 7.57 | 399-4987-2-ND | 500 | 1811.31 | T530X687M2R5ATE006 | |
| | 680 ±20 | 170 | 8 | 0.006 | Y | 399-3471-1-ND | 9.32 | 8.11 | 7.09 | 399-3471-2-ND | 500 | 1695.69 | T530Y687M2R5ATE006 | |
| | 1000 ±20 | 250 | 8 | 0.006 | X | 399-4132-1-ND | 10.38 | 9.03 | 7.89 | 399-4132-2-ND | 500 | 1888.39 | T530X108M2R5ATE006 | |
| | 1000 ±20 | 250 | 8 | 0.005 | Y | 399-4749-1-ND | 9.74 | 8.48 | 7.41 | 399-4749-2-ND | 500 | 1772.77 | T530Y108M2R5ATE005 | |
| | 1500 ±20 | 375 | 8 | 0.005 | X | 399-5274-1-ND | 11.43 | 9.95 | 8.70 | 399-5274-2-ND | 500 | 2081.08 | T530X158M2R5ATE005 | |
| 3 | 680 ±20 | 204 | 8 | 0.01 | D | 399-4129-1-ND | 8.68 | 7.56 | 6.60 | 399-4129-2-ND | 500 | 1580.08 | T530D687M003ATE010 | |
| | 1000 ±20 | 300 | 8 | 0.01 | X | 399-4131-1-ND | 9.95 | 8.66 | 7.57 | 399-4131-2-ND | 500 | 1811.31 | T530X108M003ATE010 | |
| | 1500 ±20 | 450 | 8 | 0.008 | X | 399-4133-1-ND | 11.01 | 9.58 | 8.37 | 399-4133-2-ND | 500 | 2004.00 | T530X158M003ATE008 | |
| 4 | 330 ±20 | 132 | 8 | 0.006 | D | 399-4124-1-ND | 8.89 | 7.74 | 6.76 | 399-4124-2-ND | 500 | 1618.62 | T530D337M004ATE006 | |
| | 470 ±20 | 188 | 8 | 0.006 | D | 399-4986-1-ND | 9.11 | 7.93 | 6.92 | 399-4986-2-ND | 500 | 1657.16 | T530D477M004ATE006 | |
| | 470 ±20 | 188 | 8 | 0.01 | D | 399-4126-1-ND | 8.68 | 7.56 | 6.60 | 399-4126-2-ND | 500 | 1580.08 | T530D477M004ATE010 | |
| | 680 ±20 | 272 | 8 | 0.004 | X | 399-4817-1-ND | 11.22 | 9.77 | 8.53 | 399-4817-2-ND | 500 | 2042.54 | T530X687M004ATE004 | |
| | 680 ±20 | 272 | 8 | 0.01 | X | 399-4139-1-ND | 9.95 | 8.66 | 7.57 | 399-4139-2-ND | 500 | 1811.31 | T530X687M004ATE010 | |
| 6.3 | 680 ±20 | 272 | 8 | 0.006 | X | 399-4138-1-ND | 10.38 | 9.03 | 7.89 | 399-4138-2-ND | 500 | 1888.39 | T530X687M004ATE006 | |
| | 680 ±20 | 272 | 8 | 0.005 | Y | 399-4750-1-ND | 9.74 | 8.48 | 7.41 | 399-4750-2-ND | 500 | 1772.77 | T530Y687M004ATE005 | |
| | 220 ±20 | 139 | 8 | 0.006 | D | 399-4122-1-ND | 8.89 | 7.74 | 6.76 | 399-4122-2-ND | 500 | 1618.62 | T530D227M006ATE006 | |
| | 330 ±20 | 208 | 8 | 0.01 | D | 399-4125-1-ND | 8.47 | 7.37 | 6.44 | 399-4125-2-ND | 500 | 1541.54 | T530D337M006ATE010 | |
| | 330 ±20 | 208 | 8 | 0.006 | Y | 399-3472-1-ND | 9.32 | 8.11 | 7.09 | 399-3472-2-ND | 500 | 1695.69 | T530Y337M006ATE006 | |
| 10 | 330 ±20 | 208 | 8 | 0.006 | D | 399-4751-1-ND | 8.89 | 7.74 | 6.76 | 399-4751-2-ND | 500 | 1618.62 | T530D337M006ATE006 | |
| | 470 ±20 | 296 | 8 | 0.005 | Y | 399-4752-1-ND | 9.74 | 8.48 | 7.41 | 399-4752-2-ND | 500 | 1772.77 | T530Y477M006ATE005 | |
| | 470 ±20 | 296 | 8 | 0.01 | X | 399-4137-1-ND | 9.95 | 8.66 | 7.57 | 399-4137-2-ND | 500 | 1811.31 | T530X477M006ATE010 | |
| | 470 ±20 | 297 | 8 | 0.006 | X | 399-4136-1-ND | 10.38 | 9.03 | 7.89 | 399-4136-2-ND | 500 | 1888.39 | T530X477M006ATE006 | |
| | 680 ±20 | 428 | 8 | 0.018 | X | 399-5408-1-ND | 9.95 | 8.66 | 7.57 | 399-5408-2-ND | 500 | 1811.31 | T530X687M006ATE018 | |
| 16 | 150 ±20 | 150 | 8 | 0.006 | D | 399-4121-1-ND | 8.89 | 7.74 | 6.76 | 399-4121-2-ND | 500 | 1618.62 | T530D157M010ATE006 | |
| | 150 ±20 | 150 | 8 | 0.01 | D | 399-4791-1-ND | 7.62 | 7.37 | 6.44 | 399-4791-2-ND | 500 | 1541.54 | T530D157M010ATE010 | |
| | 220 ±20 | 220 | 8 | 0.01 | D | 399-4123-1-ND | 8.47 | 7.37 | 6.44 | 399-4123-2-ND | 500 | 1541.54 | T530D227M010ATE010 | |
| | 220 ±20 | 220 | 8 | 0.006 | D | 399-4747-1-ND | 8.89 | 7.74 | 6.76 | 399-4747-2-ND | 500 | 1618.62 | T530D227M010ATE006 | |
| | 220 ±20 | 220 | 8 | 0.006 | Y | 399-4748-1-ND | 9.32 | 8.11 | 7.09 | 399-4748-2-ND | 500 | 1695.69 | T530Y227M010ATE006 | |
| 16 | 330 ±20 | 330 | 8 | 0.01 | X | 399-4135-1-ND | 9.95 | 8.66 | 7.57 | 399-4135-2-ND | 500 | 1811.31 | T530X337M010ATE010 | |
| | 330 ±20 | 330 | 8 | 0.006 | X | 399-4134-1-ND | 10.38 | 9.03 | 7.89 | 399-4134-2-ND | 500 | 1888.39 | T530X337M010ATE006 | |
| 16 | 150 ±20 | 240 | 8 | 0.015 | X | 399-4663-1-ND | 10.67 | 10.32 | 9.02 | 399-4663-2-ND | 500 | 2158.16 | T530X157M016ATE015 | |
| | 150 ±20 | 240 | 8 | 0.025 | X | 399-4664-1-ND | 10.29 | 9.95 | 8.70 | 399-4664-2-ND | 500 | 2081.08 | T530X157M016ATE025 | |
| 16 | 150 ±20 | 240 | 8 | 0.04 | X | 399-4665-1-ND | 9.91 | 9.58 | 8.37 | 399-4665-2-ND | 500 | 2004.00 | T530X157M016ATE040 | |

† Code de dimensions

Kits – Conforme à RoHS

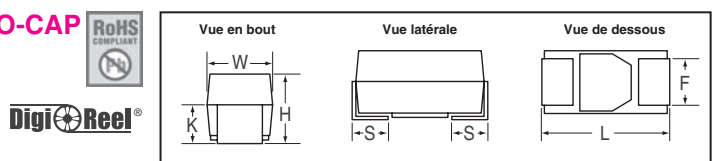
- ◊ 399-5260-ND (Numéro de référence Kemet TAN ENG KIT 04) 10 pièces de chacune des valeurs indiquées (100 pièces au total) 42.35
- § 399-5278-ND (Numéro de référence Kemet TAN ENG KIT 09) 10 pièces de chacune des valeurs indiquées (100 pièces au total) 42.35
- 399-5270-ND (Numéro de référence Kemet TAN ENG KIT 08) Voir le site Web Digi-Key pour les valeurs comprises (160 pièces au total) 42.35

Série A700 Condensateurs organiques en aluminium AO-CAP

Les condensateurs AO-CAP de KEMET, désignés par la série A700, ont été spécialement conçus pour les applications de gestion d'alimentation. La structure du condensateur AO-CAP utilise l'aluminium comme matériau d'anode, l'oxyde d'aluminium comme diélectrique et un polymère organique conducteur comme matériau de contre-électrode. Le condensateur AO-CAP offre beaucoup d'avantages : • RSE extrêmement faible • Rétention élevée de capacité permettant des performances supérieures aux hautes fréquences de fonctionnement • Aucun détarage de tension jusqu'à une température de 125 °C • Robustesse dans le processus de montage en surface • Aucun mécanisme de défaillance lié au dessèchement

La série A700 offre un boîtier moulé et des bornes enveloppantes. Cela permet une protection robuste contre les fissures (flexibilité), faisant du condensateur une solution idéale pour le remplacement des condensateurs en céramique à haute capacité et offrant de vraies solutions de montage en surface pour les condensateurs organiques en aluminium disponibles aujourd'hui. Les performances haute fréquence du condensateur AO-CAP permettent de réduire le nombre de composants et donc de gagner de la place sur les cartes tout en offrant une solution plus économique.

Le condensateur AO-CAP offre d'excellentes performances en matière de courant de surcharge et une longue fiabilité. Il n'existe pas de recommandation de détarage de tension permettant de réduire le taux de défaillance. **Température de fonctionnement** : -55 à 125 °C. La variation approximative de capacité en fonction de la température est de -15 % pour -55 °C et de +15 % pour 125 °C. **Tolérance de capacité** : ±20 %



| Code de dimensions | | L | W | H | K mini | F ±0,1 | S ±0,2 |
|--------------------|---------|-----------|-----------|-----------|--------|--------|--------|
| Kemet | EIA | | | | | | |
| V | 7343-20 | 7.3 ± 0.3 | 4.3 ± 0.3 | 1.9 ± 0.1 | 1.1 | 2.4 | 1.3 |
| D | 7343-31 | 7.3 ± 0.3 | 4.3 ± 0.3 | 2.8 ± 0.3 | 1.3 | 2.4 | 1.3 |
| X | 7343-43 | 7.3 ± 0.3 | 4.3 ± 0.3 | 4.0 ± 0.3 | 2.1 | 2.4 | 1.3 |

| TS (c.c.) | Cap. (µF) | Code de dimensions | Courant de fuite c.c. µA à 25 °C max. | FD % à 25 °C 120 Hz max. | RSE Ω à 25 °C 100 kHz max. | Courant ondulatoire A eff. 100 kHz à RSE max, -55 à 125 °C | N° de référence Digi-Key | Prix unitaire de bande coupée | | | N° de référence Digi-Key | Bande et bobine | | N° de référence Kemet |
|-----------|-----------|--------------------|---------------------------------------|--------------------------|----------------------------|--|--------------------------|-------------------------------|------|------|--------------------------|-----------------|--------|-----------------------|
| | | | | | | | | 1 | 10 | 100 | | Qté | Prix | |
| 2 | 100 | V | 12 | 6 | 0.028 | 2.1 | 399-3030-1-ND | 1.68 | 1.58 | 1.37 | 399-3030-2-ND | 1,000 | 838.53 | A700V107M002ATE028 |
| | 150 | V | 18 | 6 | 0.028 | 2.1 | 399-3031-1-ND | 1.68 | 1.58 | 1.37 | 399-3031-2-ND | 1,000 | 838.53 | A700V157M002ATE028 |
| | 180 | D | 21.6 | 6 | 0.018 | 2.9 | 399-3032-1-ND | 2.52 | 2.37 | 2.06 | 399-3032-2-ND | 500 | 631.02 | A700D187M002ATE018 |
| | 220 | D | 26.4 | 6 | 0.018 | 2.9 | 399-3033-1-ND | 2.52 | 2.37 | 2.06 | 399-3033-2-ND | 500 | 631.02 | A700D227M002ATE018 |
| | 220 | D | 26.4 | 6 | 0.015 | 3.2 | 399-3034-1-ND | 2.69 | 2.53 | 2.19 | 399-3034-2-ND | 500 | 673.37 | A700D227M002ATE015 |
| | 220 | D | 26.4 | 6 | 0.012 | 3.5 | 399-3035-1-ND | 2.86 | 2.69 | 2.33 | 399-3035-2-ND | 500 | 715.72 | A700D227M002ATE012 |
| | 270 | X | 26.4 | 6 | 0.015 | 3.2 | 399-3036-1-ND | 3.39 | 3.18 | 2.76 | 399-3036-2-ND | 500 | 847.00 | A700X277M002ATE015 |
| | 330 | X | 39.6 | 6 | 0.015 | 3.3 | 399-3037-1-ND | 3.39 | 3.18 | 2.76 | 399-3037-2-ND | 500 | 847.00 | A700X337M002ATE015 |
| | 390 | X | 46.8 | 6 | 0.01 | 4.1 | 399-3039-1-ND | 3.56 | 3.34 | 2.90 | 399-3039-2-ND | 500 | 889.35 | A700X397M002ATE010 |
| | 470 | X | 56.4 | 6 | 0.015 | 4.5 | 399-3040-1-ND | 3.39 | 3.18 | 2.76 | 399-3040-2-ND | 500 | 847.00 | A700X477M002ATE015 |
| 2.5 | 82 | V | 12.3 | 6 | 0.028 | 2.1 | 399-3041-1-ND | 1.68 | 1.58 | 1.37 | 399-3041-2-ND | 1,000 | 838.53 | A700V826M2R5ATE028 |
| | 150 | D | 22.5 | 6 | 0.018 | 2.9 | 399-3042-1-ND | 2.52 | 2.37 | 2.06 | 399-3042-2-ND | 500 | 631.02 | A700D157M2R5ATE018 |
| | 220 | X | 33 | 6 | 0.015 | 3.3 | 399-3043-1-ND | 3.39 | 3.18 | 2.76 | 399-3043-2-ND | 500 | 847.00 | A700X227M2R5ATE015 |
| 4 | 82 | V | 19.7 | 6 | 0.028 | 2.1 | 399-3044-1-ND | 1.68 | 1.58 | 1.37 | 399-3044-2-ND | 1,000 | 838.53 | A700V826M004ATE028 |
| | 120 | D | 28.8 | 6 | 0.018 | 2.9 | 399-3045-1-ND | 2.52 | 2.37 | 2.06 | 399-3045-2-ND | 500 | 631.02 | A700D127M004ATE018 |
| | 150 | D | 36 | 6 | 0.018 | 2.9 | 399-3046-1-ND | 2.52 | 2.37 | 2.06 | 399-3046-2-ND | 500 | 631.02 | A700D157M004ATE018 |
| | 180 | X | 43.2 | 6 | 0.015 | 3.3 | 399-3047-1-ND | 3.39 | 3.18 | 2.76 | 399-3047-2-ND | 500 | 847.00 | A700X187M004ATE015 |
| | 220 | X | 52.8 | 6 | 0.015 | 3.3 | 399-3048-1-ND | 3.39 | 3.18 | 2.76 | 399-3048-2-ND | 500 | 847.00 | A700X227M004ATE015 |
| 6.3 | 33 | V | 8.3 | 6 | 0.028 | 2.1 | 399-3050-1-ND | 1.68 | 1.58 | 1.37 | 399-3050-2-ND | 1,000 | 838.53 | A700V336M006ATE028 |
| | 47 | V | 11.8 | 6 | 0.025 | 3.3 | 399-5277-1-ND | 1.85 | 1.74 | 1.51 | 399-5277-2-ND | 1,000 | 923.23 | A700V476M006ATE025 |
| | 47 | V | 11.8 | 6 | 0.028 | 2.1 | 399-3051-1-ND | 1.68 | 1.58 | 1.37 | 399-3051-2-ND | 1,000 | 838.53 | A700V476M006ATE028 |
| | 56 | V | 14.1 | 6 | 0.028 | 2.1 | 399-3052-1-ND | 1.68 | 1.58 | 1.37 | 399-3052-2-ND | 1,000 | 838.53 | A700V566M006ATE028 |
| | 68 | V | 17.1 | 6 | 0.028 | 2.1 | 399-3053-1-ND | 1.68 | 1.58 | 1.37 | 399-3053-2-ND | 1,000 | 838.53 | A700V686M006ATE028 |
| | 100 | D | 25.2 | 6 | 0.015 | 4.1 | 399-5275-1-ND | 2.69 | 2.53 | 2.19 | 399-5275-2-ND | 500 | 673.37 | A700D107M006ATE015 |
| | 100 | D | 25.2 | 6 | 0.018 | 2.9 | 399-3054-1-ND | 2.52 | 2.37 | 2.06 | 399-3054-2-ND | 500 | 631.02 | A700D107M006ATE018 |
| | 150 | X | 37.8 | 6 | 0.01 | 4.7 | 399-5276-1-ND | 3.56 | 3.34 | 2.90 | 399-5276-2-ND | 500 | 889.35 | A700X157M006ATE010 |
| | 150 | X | 37.8 | 6 | 0.015 | 3.3 | 399-3055-1-ND | 3.39 | 3.18 | 2.76 | 399-3055-2-ND | 500 | 847.00 | A700X157M006ATE015 |
| | 180 | X | 43.2 | 6 | 0.015 | 3.3 | 399-3056-1-ND | 3.39 | 3.18 | 2.76 | 399-3056-2-ND | 500 | 847.00 | A700X187M006ATE015 |
| 8 | 33 | V | 10.6 | 6 | 0.028 | 2.1 | 399-3057-1-ND | 1.68 | 1.58 | | | | | |